

<http://www.geojournals.cn/dzxb/ch/index.aspx>

基性、超基性岩浆的成矿作用及其 有关矿床成因与构造分类

王 述 平

岩浆矿床的研究和其他成因的矿床一样,是在地质勘探工作的基础上,对于一个矿区或矿田的全面性的综合研究,借以进行矿床评价、探索深部和外围找矿及勘探方向。

镍、铬、钴、铂、钒、钛等岩浆金属矿床富集在基性、超基性岩内,与岩石种类,岩相分布、岩浆结晶条件和岩体的内部构造有着密切的关系。岩浆侵入的大地构造位置及结晶环境直接影响分异作用的好坏,同时对于形成不同类型的有用金属矿床,亦有影响。

不同成因类型的岩浆矿床是火成岩结晶作用不同阶段的产物,各不同阶段有其不同的控制条件。早期岩浆矿床以重力分异作用为主,晚期岩浆矿床的富集作用则较为复杂,一般说来流动构造与矿石富集关系更为密切,原生节理起着辅助作用;原生节理是在流动构造的基础上产生的,在区域构造的影响下发生再活动,控制着不同的贯入式矿床。

确定矿床的成因类型可以大致推定矿体的规模,但在确定构造控制因素后则对于预测矿体延深、延长及探索新矿体的帮助更大。因此结合成矿作用研究岩浆矿床的成因分类与构造分类,对于指导岩浆矿床的找矿及勘探工作是非常重要的。

作者下面将试探性地讨论矽酸盐矿物、金属氧化物和硫化物的晶出作用,并说明岩浆分异和结晶分异作用同时进行产生熔离作用的重要性及不连续反应系列矿物与残浆反应过程中对金属元素的富集作用。

并结合大地构造讨论火成岩原生构造活动,分析构造活动的内因和外因,特别强调指出流动构造对于分凝式矿床的找矿意义和流动分异作用对于矿体的富集作用;肯定了 S' 、 D' 及 Q' 对于贯入式矿床的控制作用。

文中提出了岩浆矿床成因类型与构造类型相结合的初步划分意见,并倡议采用压滤式和增添热液富集式等几个新的类型。

这些尝试性的探讨,都还不很成熟,由于作者所掌握的资料还有一定片面性,更难免有错误的地方。这里仅把一些初步意见发表出来,提供从事于这方面工作的同志参考和批评指正¹⁾。

一、基性、超基性岩及铬、镍等元素的富集作用

基性、超基性岩的分布不如酸性岩普遍,它主要产于褶皱山带和岛弧之中,与地槽的发展历史有关系。如加里东期阿帕拉阡褶皱带、海西期乌拉尔褶皱带及阿尔卑斯期东、西

1) * 文中所用资料大部是作者与鲍世强、孙廷綿、李章大、吴纪群、吕志雄、林秀勤等同志进行岩浆矿床研究的成果;关于力学理论方面,曾得到牛实为同志的很多帮助。

印度島弧。我国海西期内蒙、秦岭、祁連山、昆仑山、龙门山褶皺带及喜馬拉雅褶皺带等均較发育。其次产于古老地盾或地台内部，如南非的布什維爾德、南罗得西亚及我国的滇西准地台等地区。第三种是产于地台边部深断裂旁的准褶皺带（或地盾中的次一级褶皺带）中，如东北及河北北部所发现的一些岩体羣可以作为例子。

大地构造条件、原岩浆的化学成分及其所形成的不同的火成岩建造，和围岩的性质均影响火成岩分异作用的好坏和原生构造发育程度，而这些都是控制岩浆矿床金属富集的主要条件。

岩浆金属矿床是火成岩的副矿物成分在分异过程中富集而成的，因此研究岩浆矿床的成因，必须首先注意岩浆分异作用。

一般所指的分异現象多偏重于結晶分异作用，如所謂重力分异即早期晶出的暗色矿物如橄欖石、輝石或金属矿物鉻尖晶石、磁鐵矿等由于其比重較高，下沉到岩浆底部，或有时淡色矿物結晶較早則漂浮于岩浆上部，使火成岩形成不同的岩相，有时产生岩浆矿床的富集作用。

近年来发现火成岩，尤其是基性、超基性岩的不混溶現象，如异离体、似层状及带状岩体等普遍存在，因此許多岩石学家¹⁾都非常注意液态岩浆的熔离作用。

經常可以发现粗粒巨晶状的純橄欖岩或輝岩在輝石橄欖岩中成异离体出現。这种純橄欖岩异离体构成鉻鐵矿的找矿标志，可以大致推定鉻的富集作用如下：

在輝石橄欖岩的熾热熔浆中，四面体的酸根 $[SiO_4]$ 之間为共同的氧原子所连接，其配位数等于4，在結晶分异过程中这些組分首先成固溶液状态聚集，当温度下降达到富鎂的橄欖石結晶点时开始晶出，在矽氧結晶格架外部富集 Cr^{3+} ，在揮发份参加的条件下熔离成純橄欖岩异离体，因此我們認為这种异离体是結晶分异作用和岩浆分异作用同时进行的产物。

鉻可以类質同象混入于早期結晶的富鎂橄欖石的結晶格架中，华格和密切尔（Wager & Mitchell, 1945）測定了輝长岩中的橄欖石，发现其中含有1,000克/吨的鉻，在基性岩浆晚期分化的橄欖石中含有不足2克/吨的鉻。这是由于高温时鉻在橄欖石中經常置換鎂，不易置換 Fe^{3+} ，因此早期晶出的富鎂橄欖石，在缺氧的条件下集中了岩浆中一部分鉻，另一部分則以鉻酸絡阴离子 $[CrO_4]$ 或 Cr^{3+} 殘留于岩浆中^[1]。当富鎂橄欖石与残浆发生反应， Cr^{3+} 又析出，并在条件适合时富集成晚期岩浆矿床。最近的資料表明鎂質較高的純橄欖岩异离体，且其中貴橄欖石的鎂橄欖石分子數較高的，有利于找到晚期岩浆鉻鐵矿床。

岩浆中 $Fe_2O_3:FeO$ 可以表示原岩浆的氧化程度^[2]，似影响鉻尖晶石的結晶作用，如某矿区在地表部分常見分散的早期鉻尖晶

石矿物，无工业价值，其 $Cr_2O_3:FeO$ 比值亦低，到深部則发现晚期岩浆鎂富鉻鉻鐵矿的小矿体，其 $Cr_2O_3:FeO$ 比值亦較高，从地表向深部其 $Fe_2O_3:FeO$ 的关系

表1 純橄欖岩的 $Fe_2O_3:FeO$ 变化关系

純 橄 榄 岩 (→ 深 部)				
MgO	38.19	40.46	41.67	42.34
Fe_2O_3/FeO	5.10	5.00	1.60	1.44

1) 列文生-列星格、別梁金、格里戈尔耶夫、格劳特、芬涅尔等人。

如表 1:

利用 MgO 值的变化作为横座标, 投出之 $Fe_2O_3:FeO$ 曲线, 基本上可以代表原岩浆氧化作用向深部减弱¹⁾, 愈向深部含镁愈富, 可见深部较富镁的橄榄石中富集, 铬元素较多, 铬尖晶石矿物不形成分散的早期矿物, 而在残浆中析出, 并在岩浆晚期富集成矿。苏联乌拉尔肯皮尔斯等矿区的勘探成果表明: 铬铁矿的富集带在岩浆通道附近, 一方面由于深部岩浆分异较好, 同时也可能是由于深部氧化条件较差的缘故。

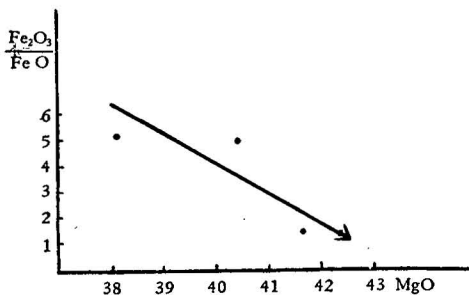


图 1 氧化条件与铬尖晶石的结晶关系

这样可以表明硫化铜镍矿床都是属于晚期岩浆熔离作用下形成的; 镍的富集作用曾经历过较为复杂的阶段。

有人认为, 原岩浆含镁愈高, 含铬矿的可能性愈大; 反之, 原岩浆含钙、铁高而含镁低, 对于形成高品位的铬铁矿不利。这一点是符合上面的假说的。我们根据几个镍矿区的岩石分析资料还认为: 铁质较高的超基性岩对于富集硫化铜镍矿床较为有利。这些现象都与上述铬镍在不同性质的岩浆中的富集作用有关。

基性岩中的橄榄辉长岩、橄榄苏长岩等偏于超基性, 含橄榄石, 容易富集硫化铜镍矿床, 而与斜长岩伴生的辉长岩或苏长岩则常发现钒钛磁铁矿。钒钛磁铁矿常与粗粒辉长岩及磷灰石等气成矿物伴生, 说明其富集时氧化条件较好。

以上有关基性、超基性岩的地球化学和矿物、岩石的简述, 都是有关岩浆矿床成因方面的主要问题。这两方面都受下面将要谈到的构造条件的影响。

二、火成岩的构造控制条件

火成岩的构造控制条件包括大地构造因素和火成岩的原生构造两个方面。

火成岩的原生构造, 即流动构造和原生节理, 是在柔性岩浆流动及开始冷凝时期所形成的。这些构造主要由于侵入的火成岩内力影响所产生, 兹分别介绍如下:

1) 蛇纹石化后 Fe_2O_3 增加, 但由于蛇纹石化也代表氧化程度增高, 因此, 这一比值还是可以参考。作者在这里只提出一个研究方向。

(一) 流 动 构 造

原生流动构造分为綫状构造和层带状构造两种。綫状构造是矿物长轴及分离体或捕虏体与岩浆主要流动方向一致,这是由于岩浆从紊流轉向层流时产生差异性运动,先结晶的矿物受两个相互平行的流面上的切应力所产生的扭轉作用,使这些矿物的长軸轉向与流动方向一致,形成綫状构造(图 2 I 虛線)。

层带状构造又分为似层状及带状两类:前者为暗色岩层(往往含矿)和淡色岩层之間的近于水平的互层,是残浆产生差异性运动时,流层間的切应力加速矿物结晶,并使粘性相同的熔浆和化学組成相同的矿物聚結在一起,形成似层状构造,在地台区侵入体的底部較为常見。后者为受侧压力作用較強、不同种类的岩相形成直立的带状构造,以地槽区侵入体中較为常見。

(二) 断 裂 构 造

断裂构造是岩浆冷凝过程中及成岩后所产生的。岩浆冷凝时由于其內力而产生的裂縫称为原生节理,成岩后受区域性压应力作用所产生的活动称为次生裂隙或简称裂隙。

原生节理有纵节理(S)、横节理(Q)、斜交节理(D)、层节理(L)及偶尔出現的边缘节理等。当侵入体沿长轴方向流动,粘性增大,在差异性运动的基础上,由于围岩的摩擦阻力,及与流动方向平行的铅垂面上預先产生的切应力,再受以后岩浆冷凝收缩时的张应力作用,产生纵节理(S)、横节理(Q),并于粘性較大的内部引起粘性剪裂,形成斜交裂隙(D)。原生节理常受区域动力影响发生再活动。区域横压力使纵节理上下錯动发生迭瓦状裂隙羣(S'),同时斜交节理由水平剪断,发生雁行状裂隙羣(D');以后横节理亦发展为张裂隙(Q'),层节理有时亦有活动(L')。作者綜合了几个矿区的实际資料,提出原生节理再活动为晚期岩浆貫入式矿床的构造控制因素,并分別采用 S' , Q' , D' 及 L' 代替克劳斯的 S , Q , D 及 L 。原生节理及其再活动的构造裂隙与应力条件如图 2 所示。

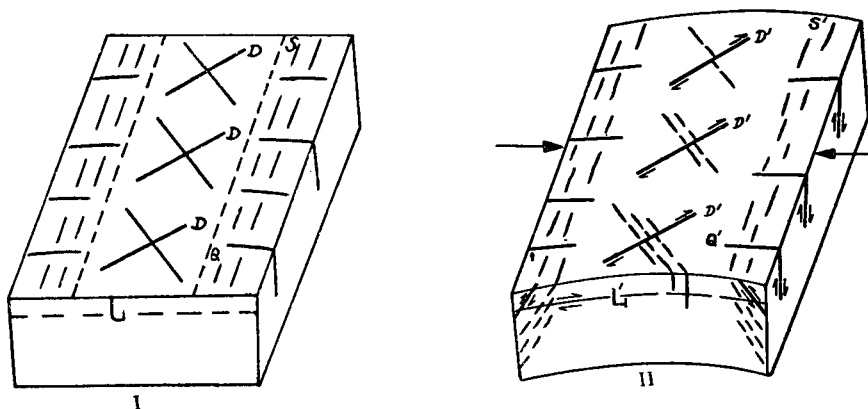


图 2 原生构造及其再活动的应力、应变关系

I. 火成岩各种原生构造示意图;
II. 各组原生构造再活动的现象。

(三) 岩浆矿床与大地构造及火成岩构造的关系

岩浆活动时期所处的大地构造位置不同，并在大地构造发展的不同阶段固结，形成不同的岩浆岩建造。同时对构造裂隙的发育程度和发展变化也有影响，例如褶皱带和陆台区的构造和运动性质不同，因此影响其中的矿床成因和产状。

地盾和地台区的岩浆活动，由于结晶基底不易透过，只有被新的地壳运动破坏产生断裂才出现侵入活动。在这里以中基性、中酸性岩喷出开始，继之有基性到中性岩的侵入，晚期则偏于碱性。侵入体的最大特征是多为浅成岩相，分异较好，原生构造较为明显，底部有似层状构造，其中常发现晚期岩浆分凝式矿床（如我国西南一钒钛磁铁矿床），在偏于超基性的基性杂岩体中能发现熔离分凝式的硫化铜镍矿床。岩浆活动的最后阶段为橄榄玄武岩流的喷出。

褶皱带的侵入体则可以划分为前造山期、同造山期及后造山期三类。

前造山期运动的特点是在地槽内具有最大沉降幅度的垂直变位，此时所产生的张力，使地壳发生断裂，在这种条件下岩浆活动和地盾及地台区类似，有基性岩流的海底喷发和由原生玄武岩浆派生的基性、超基性岩的多次侵入，侵入体以辉长岩类为主。由于环境较好，岩体分异也较好，原生构造发育，再度侵入的岩体有时不超出第一次侵入的大岩体范围，且受原生构造再活动的严格控制。后期区域构造运动的复合现象常常改变原来的裂隙性质。貫入式钒钛磁铁矿和铂矿经常与这种侵入体有关。

在同造山期中非地槽性质的褶皱区的构造运动和地槽性质的褶皱区的运动性质不同。

非地槽性质的褶皱带中，硬性基底的岩石在褶皱作用时不发生塑性变形，而是发生横断裂，各断块变位的同时上层沉积岩受到塑性变形，常伴有断层和逆掩断层。

这些地带具备地台区与地槽区的过渡性质，经常发现深部已分异的玄武岩浆，沿深断裂的次一级断裂带侵入，形成基性-超基性的小岩体；其长轴方向与断裂带平行或斜交，有再度侵入的现象及具流动构造的晚期岩浆分凝式矿床。

在地槽性质的褶皱带中，由原生橄榄岩浆派生的超基性岩广泛活动，因褶皱形成的过程波及整个地层，侵入体发生变形，分异很差，经常产生带状或边部片麻状构造，有时含矿岩体为深部分异的大岩体内有直立的异离体，其中可能有晚期岩浆分凝式铬铁矿的富集。构造活动愈强烈，则岩浆活动次数愈频繁，晚期岩浆矿床以貫入式为主，此时浸染状矿体则常较分散，不容易构成分凝式矿床（实例见后）。

以后有基性、中酸性岩小侵入体及中深花岗岩基沿褶皱带平行分布，因动力干扰，原生构造常不明显。

在后造山期分为垂直运动和水平运动两类，前者伴有断裂和酸性、中酸性火山喷发；后者则形成褶皱山脉的横断裂，造成中酸性、碱性小型侵入体的上升通道。火成岩在这一阶段形成的也较多，以稀有金属矿床较为发育。因为岩浆运动是发生在硬性的围岩中，原生构造也最明显。

在大地构造旋迴的特定阶段的火成岩，互相有成因联系，在时间和空间上常相伴生的各种岩石构成一个杂岩体，某一类型的杂岩体生成于一定的大地构造发育阶段的就属

于同一建造，例如超基性岩建造就是褶皺帶輝岩—純橄欖岩所組成的岩石組合。

地殼活動相類似的區域有着類似的岩漿活動，同一構造發展階段的不同時代的岩石組合，可能屬於同一個建造，並可進行對比。

參照近年來蘇聯對於岩漿建造的研究所指出的三個主要因素，作者建議在研究岩漿礦床時，採用構造條件代表侵入體的大地構造環境、內部構造及其再活動等因素，並將一個岩漿建造分成若干岩石系列，岩漿礦床伴隨一定的岩石系列產出，且有時集中於某幾個特殊的岩相，構成各種不同的成因類型；由於構造條件的不同，又產生不同的構造類型。這些再加上礦物、岩石和地球化學因素，構成控制岩漿礦床的三個基本條件。

三、岩漿礦床的成因類型和構造類型

在討論岩漿礦床的成因類型和構造類型之前，首先說明幾個問題：一個是所謂異母岩礦床¹⁾，晚期岩漿礦床常有這樣的特点，即重金屬礦物因分離作用趨向於侵入體底部，集中於暗色岩相或超基性部分，但由於揮發份及應力影響常貫穿於上部淡色岩相或偏基性岩體中，斜長岩內的貫入式釩鈦磁鐵礦及斜輝橄欖岩內的貫入式鉻鐵礦都是比較典型的例子。

基性岩體受深部新岩體的熱力影響，其中橄欖石或輝石在蛇紋石化、絆閃石化等熱變過程中析出鎳、鐵等組分，與深岩漿源的硫化氣體結合而成的鎳、鐵及銅的硫化物礦床也屬於這一類，但以熱液作用為主導因素。

其次是熱液迭加現象，硫化銅鎳礦床往往受熱液富集作用影響。曾見到輝綠岩、橄欖輝長岩及橄欖岩中含熔離狀態的硫化物，兼具杏仁狀構造。這些岩漿礦床多具熱液富集的特徵，必須在討論岩漿礦床成因時加以注意。

此外，參考侵入體的構造條件劃分礦床的構造類型，對指導勘探工程方面能起較大作用，結合成因類型可以就矿找矿或預測盲矿体的隱伏地段。因此，作者在這裡從構造條件的研究入手，適當地應用地質力學分析，試將岩漿礦床劃分為幾個不同的構造類型和成因類型，一并討論。

(一) 早期岩漿分凝式礦床

目前較多數學者公認屬早期岩漿礦床的，只有南非的布什維爾德鉻鐵礦等少數幾個礦床。布什維爾德位於南非德蘭士瓦中部，岩體分布面積達39,000平方公里，為世界最大的一個雜岩體。主要岩體分為東西兩部，東部岩體走向南北，傾向西或南西10—45°。組成岩盆的主要岩石：上部為鈣長岩系列，下部為輝石岩系列，包括古銅輝岩、斜輝橄欖岩及鉻鐵岩等。這些不同的岩石在岩體下部富礦的臨界帶構成明顯的薄層狀。

鉻鐵岩賦存於古銅輝岩內，分為帶頭層及下側斯蒂爾波德層兩個礦帶，中夾數米厚的輝石岩。礦層厚度雖不過數米，但延展廣闊，規模宏大，富礦中鉻尖晶石成分占95%。

鉻尖晶石礦物一般均為細粒自形至略圓形，自上而下從稠密浸染狀過渡為致密塊狀的鉻鐵岩，但往往具古銅輝石的核心。臨界帶的輝石岩、蘇長岩和富鉻岩石層不足3厘米

1) 相當於索科洛夫的“異岩漿礦床”(見參考文獻[4]第104頁)，因原名易與“異源岩漿”相混，故改用此名。

到数十厘米的薄层状，鉻鐵矿层也成較規則的似层状。

可以推想在地台区較为宁静的环境下，重力分异作用的結果，使鈣长岩和輝石岩及鉻鐵岩分开。但似层状构造的形成是熔浆在压力下发生差异性运动的結果，同时各层間粘性的差异和流速的变化使不同岩石的固結時間有先后，以致发生不同条带岩石間的熔蝕交代甚至沿先結晶岩石的裂隙侵入的現象。

鉻鐵岩下部有些鉻尖晶石和輝石是早期結晶后下沉到較热的岩浆庫底部重熔再結晶而成，推想其过程是重熔的鉻鐵矿液在揮发份参加下与熔浆不混熔而下沉，然后与輝石熔浆同时再度晶出，因此常在鉻鐵岩下部見到鉻尖晶石成鏈状构造，而有时与輝石岩包体边部的古銅輝石成嵌晶結構。有时还可以看到鉻鐵矿与古銅輝石之間为一层斜长石薄膜所隔开，三朴森認為这种斜长石与鉻鐵矿由古銅輝石交代而成的意見也是值得注意的。

总之，根据最近資料^[6]，可以初步肯定鉻鐵岩是岩浆重力分异作用的結果，沉积于輝石岩系列底部，仅有部分鉻鐵矿和古銅輝石是原地生成的。矿液的不混熔現象仅是一个补充程序，矿床成因应属于早期岩浆分凝式。矿床的构造类型应属于似层状。鉻尖晶石矿物的鉻鐵比值为 1.33—1.64，質量較差。

我国有一含鉻鐵矿超基性岩体，位于震旦紀地盾的次一級褶皺帶中。围岩为震旦紀片麻岩及寒武奥陶紀石灰岩；含矿岩石为单斜輝石橄欖岩（已蛇紋石化）。岩体沿两者間的北北西走向的不整合面侵入，成单斜构造，岩体均向西南傾斜；再度侵入的輝石岩侵入于橄欖岩之間，輝長岩沿超基性岩东側作不規則的帶状分布。以上三个岩石系列均属于深部分异逐次侵入的結果，由于侵入后的分异作用及围岩同化作用，各不同系列又分异成几个岩相。

根据李璞同志的研究，橄欖岩体有异常分异現象：上部为含輝石純橄欖岩、輝石橄欖岩，下部为橄欖岩及石榴石化橄欖岩。矿体主要賦存于石榴石化橄欖岩中。这些岩石含 MgO 較一般略低 ($MgO:FeO = 1.20—3.10$)，底部含矿岩石中更低 (1.20)。 Fe_2O_3 、 Al_2O_3 稍高， CaO 、 FeO 、 MnO 都显著較高，而 CaO 在含矿岩石（石榴石化橄欖岩）中高达 22.9，而这种岩石中的 $Fe_2O_3:FeO$ 的比值为 9.31:1.92，等于 4.8，比上部純橄欖岩 ($Fe_2O_3:FeO = 1.62$) 高得多。

岩体中发现大量石灰岩包体和鈣鋁石榴石交代輝石的現象，甚至經变质形成鈣鋁石榴石岩或透輝石岩，其化学成分也是 MgO 低， FeO 、 Fe_2O_3 高。可以假定 CaO 的含量高是岩浆上升时同化了部分石灰岩的結果，由于大量鈣質滲入于 $MgO-FeO-SiO_2$ 的系統中，降低了岩浆的結晶温度，并促使結晶过程由橄欖石直接轉变为普通輝石。这就一方面产生了橄欖岩的逆向分带現象，同时在岩浆早期氧化条件突然增高的条件下高铁鉻尖晶石大量晶出，并得到一定程度的富集。

可見围岩同化作用对于岩浆岩的逆向分带起着主要作用，而鉻尖晶石矿物在含 MgO 較低的橄欖岩中分布較多，也与围岩成分的混入有关。

矿体呈不規則的透鏡状，延长方向大致与岩带分布一致。矿体与围岩界限常为漸变关系，有局部富集現象。矿石成稠密浸染、斑点状浸染及条带状稠密浸染三种結構。鉻尖晶石的条带状分布說明含矿溶液是在定向应力影响下結晶的。

所有矿石中的鉻尖晶石均以高铁鉻尖晶石为主，常成 0.2—0.5 毫米的自形晶，有时被

大片单斜輝石包裹，但多分布于橄欖石的晶隙之間，可以确定鉻尖晶石大量开始結晶在橄欖石之后，結束于大部輝石結晶之前，当时还有大量岩浆存在，故列为早期岩浆矿床。矿石 $\text{Cr}_2\text{O}_3:\text{FeO}$ 多低于 1。

作者初步認為，早期岩浆分凝式鉻鐵矿的构造类型以似层状为主，是在吸取灰岩中鈣质及氧化程度較高的情况下形成的。表面看来，这一早期岩浆矿床实例好象有許多矛盾，但实质上却能够更好地說明上节中的一些看法。

(二) 晚期岩浆分凝式矿床

1. 晚期岩浆分凝式鉻鐵矿矿床：属于此类型的可以一地槽区的超基性岩体为例。岩体侵入于浅变質的志留-泥盆紀地层中，是海西期产物，为純橄欖岩-斜輝橄欖岩建造，以斜輝橄欖岩为主。現就一最大侵入体加以說明(图 3)：

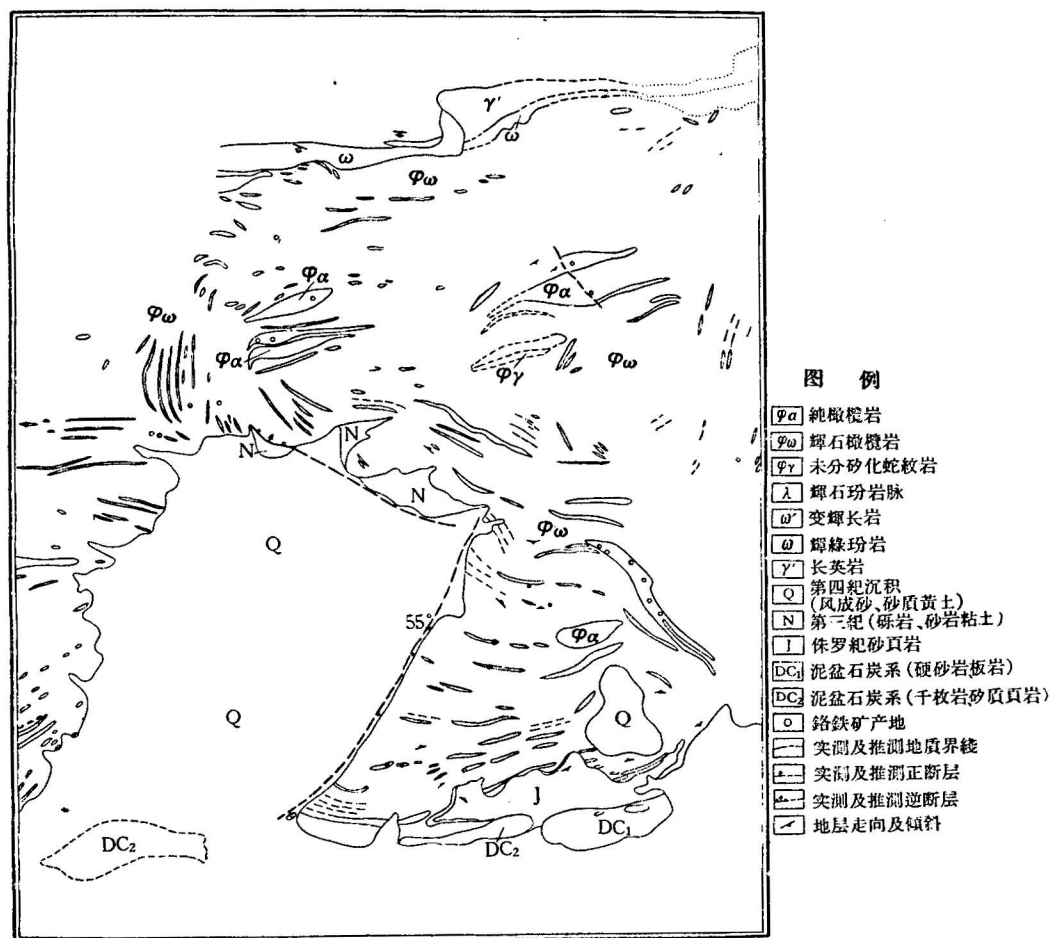


图 3 岩体中純橄欖岩条带分布示意图

岩体中純橄欖岩略成东西向条带状平行出現，产状近于垂直，占整个岩体面积的 9.5%，常沿山脊分布。純橄欖岩与斜輝橄欖岩的接触界限呈較迅速的漸变。有时可以見

到斜輝橄欖岩內的輝石成綫形排列，與純橄欖岩延長方向平行，鉻鐵矿均富集于純橄欖岩內。因此認為含礦純橄欖岩是斜輝橄欖岩中的異離體，推測岩漿在深部已發生熔離作用，在純橄欖岩中熔漿未能完全匯集的條件下，稍晚於造山運動時期侵入，經流動而形成窄長直立的扁豆體。

純橄欖岩均已蛇紋石化，斜輝橄欖岩內的殘留橄欖石為貴橄欖石 [$2V = 88^\circ (+)$]，輝石為頑火輝石 [$2V = 75\text{--}78^\circ (+)$]。

純橄欖岩的分布情況，大體來說，東北部為北東走向；東南部為北西走向，西部則為東西走向，礦體受流動構造的控制。推測當純橄欖岩異離體在流動過程中，尚有一定程度的重力分離作用，當圍岩較陡受圍岩壓力較大時發生橫向分離現象，純橄欖岩有向侵入體底盤匯集趨勢，脈狀或帶狀礦體常集中在底盤的純橄欖岩異離體中，尤以岩體轉彎匯集較大時其外側轉彎處易形成較大的礦體。且當純橄欖岩體向某一個方向側伏時，礦體亦同時側伏，且下部較上部好。

例如，主礦帶純橄欖岩異離體呈楔形，東寬西窄，其中有數條礦脈，走向和純橄欖岩一致，礦石類型為條帶斑雜狀、塊狀及浸染狀相互排列（圖4）。有的礦區見到豆狀礦石，具明顯的流動構造，這說明礦體具備熔離特徵，且仍發生一定的流動性。

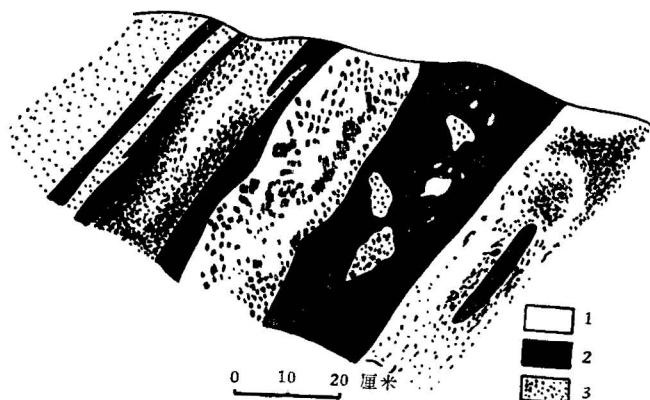


图4 混密浸染及致密块状的铬尖晶石条带(根据袁繁林)

1. 純橄欖岩；
2. 致密块状的铬尖晶石条带；
3. 浸染状铬铁矿。

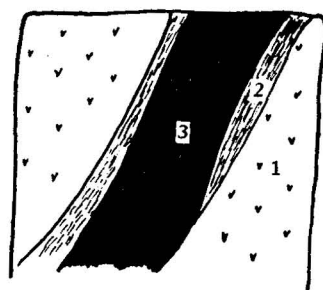


图5 壓濾式矿床的产状
(根据袁繁林)

1. 大块純橄欖岩；
2. 流纹状純橄欖岩；
3. 矿脉。

有時礦體和直接圍岩（具有稍紅色條紋的無礦純橄欖岩）與塊狀純橄欖岩有較明顯的界線（如圖5）。這種似脈狀礦體中尚有不含礦的純橄欖岩包體，兩者之間界線比較清楚，為含礦熔融體和條帶狀純橄欖岩熔漿由下部稍向上移動而擠入於大塊純橄欖岩縱節理中。類似這種成因的鉻鐵礦體（可能包括圖4的右下方致密塊狀小扁豆體），即液態熔漿壓濾擠入在已結晶的礦物中，沿原生節理成定向排列的礦體，屬於同母岩漿成因。

鉻尖晶石分析結果證明，大部均屬於含鎂的鋁鉻鐵矿。礦石的鉻鐵比值高，可見晚期岩漿礦床一般質量較好。

目前在我國不少地區均發現有這種純橄欖岩-輝石橄欖岩雜岩體，因此類似這種帶狀構造的礦體產狀，可以劃為一種構造類型。

2. 西南钒钛磁铁矿矿床：矿区附近为震旦纪地层及古生代地层，以震旦系的底砾岩不整合复于前震旦纪闪长岩及花岗闪长岩之上，在早二迭世以前仅有幅度不大的升降运动。规模广阔的海西运动发生在早二迭世以后，在北西西-南东东褶皱带上有北30°东断层构造的迭置，构成岩浆活动的主要通道。橄榄辉石岩及辉长岩侵入于阳新石灰岩中，辉长岩的生成时代晚于早二迭世。

中生代陆相沉积也沿着这些山间槽谷分布。燕山运动使区内中生代地层的褶皱轴线及断层线一律呈南北走向，并使以前的断裂软弱带复活，以后的一些构造活动具有明显的继承性，至今尚未衰减。

辉长岩体，走向北30°东，倾向北西40—50°，岩体规模很大。辉长岩整合侵入于晚震旦世大理岩中，呈岩盆状，在岩体西南端受到海西晚期花岗岩的同化混染作用，岩体西北边缘及东北端与晚三迭世地层及部分正长岩呈断层接触。自上而下为辉长岩一片麻状辉长岩—细粒辉长岩—粗粒辉长岩一片状细粒辉长岩。

其中细粒辉长岩部分为晚期侵入的，粗粒辉长岩则侵入更晚，片麻状辉长岩是一种具有明显流动构造的岩石，一般宽数百米，其中辉石、长石常分别集中而成条带状。钒钛磁铁矿成浸染状，且含界限清楚的小矿条或矿化带，矿体基本上产于片麻状辉长岩的下部（图6）：

岩体分异较好，底部矿体形成水平薄层的似层状构造，在晚期岩浆层流运动所产生的差异性运动条件下，结晶分异作用及岩浆分异作用（分熔作用）同时进行，形成了斜长岩与含矿辉长岩及矿液之间的平行条带，底部有钙质渗入，挥发份较多地段可以形成致密状矿石，及粗粒辉长岩。

矿石中以磁铁矿、钛铁矿、钛铁晶石、磁赤铁矿为主，及少量硫化物等，钛铁矿成独立晶体分布于磁铁矿的粒状集合体中，其散粒状的占95%，成固体熔离等其他结构的不过5%。在浸染状矿物周围有棕闪石及绿泥石的蚀变圈，这证明晶出时有挥发性成分参加，海绵状晶铁结构表明其结晶结束晚于辉石及拉长石。

矿床的构造类型为似层状，这是地台区晚期岩浆分凝式矿床常见的构造类型。研究辉长岩体的分异作用及流动构造。对于找矿及勘探有重要意义。

3. 东北某硫化铜镍矿床：此硫化铜镍矿床产于辉长岩-橄榄岩杂岩体内，岩体群侵入于地槽区与地台区邻接处深断裂带的次一级剪裂带内。围岩为前震旦纪片麻岩及石炭二

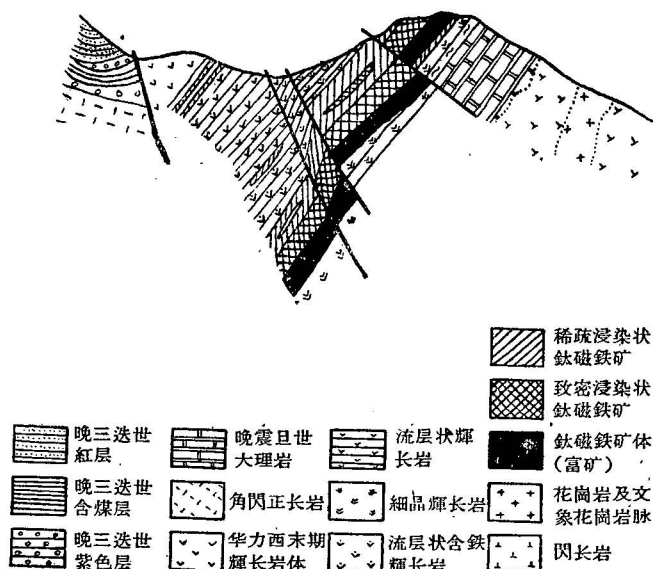


图6 西南一钒钛磁铁矿似层状矿体剖面示意图
(采用《地质学报》41卷第2期第96页图1, 原据徐宪资料)

迭紀砂頁岩。中生代砂頁岩及煤系广泛分布于深断裂构成之地壘带中，寬約 10 公里，成北东东方向延展。

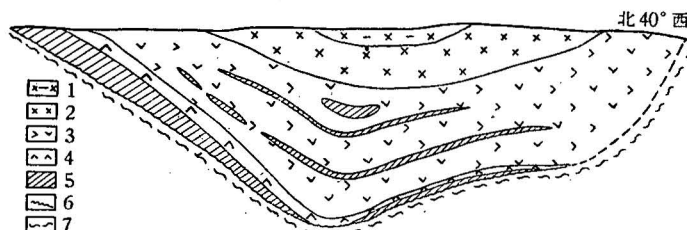
該区前震旦紀地层褶皺軸多呈北西向，深断裂为北东东向，其次一級剪裂則呈北西走向。海西期黑云母花崗岩分布于矿区附近。

基性-超基性杂岩由南西向北东共分 4 个岩体羣，三个岩石系列，分別为：

- (1) 橄欖輝岩-輝岩-輝長岩；
- (2) 橄欖岩-橄欖輝岩-輝岩；
- (3) 含長輝岩-輝長岩-閃長岩。

介于(2)(3)两系列之間尚有由片麻状輝長岩穿插的复杂岩相的岩体羣 $MgO:FeO$ 为 1.90—3.65，主要矿体賦存于第(2)系列岩体羣內。

含矿岩体大致沿一背斜軸部的断裂带侵入，走向北 25° 西，略成盤状，两侧向中心傾斜 60—70°，岩体深度由南向北由浅变深(图 7)。



1. 辉长岩； 2. 辉岩； 3. 辉橄岩； 4. 橄欖岩； 5. 矿体； 6. 破碎带； 7. 片麻岩。

图 7. 东北某鎳矿盤状矿体纵剖面示意图

岩体分异現象較好，自上而下分别为輝長岩、輝岩、橄欖岩及橄欖輝岩 4 种岩相，但輝長岩較薄，輝岩較厚，橄欖岩最厚，粒度向下变粗，其中偶然見有上悬矿体存在。

橄欖輝岩出露于南端，厚約数十米，向北变薄，主要矿体位于其中，岩石粗粒(> 3 毫米—1 厘米)的含矿較富，較富的矿石中硫化物呈海綿状晶鐵結構，脉石有斜方輝石、橄欖石、次閃石等。

矿体上部含長輝岩內的貴橄欖石的鎂橄欖石分子数为 94%，矿体中則減低到 81%，同时含矿岩石 $MgO:FeO$ 比值約小一倍($3.65 \rightarrow 1.90$)，富鎂橄欖石向富鐵橄欖石变化，鎳元素含量增多，說明鎳的轉移以置換橄欖石結晶格架中的 Fe^{2+} 为主，所以富鐵超基性岩对富集鎳矿有利。

从輝長岩到下部的橄欖岩，其 $NiS:NiSO_3$ 比值从 1:4 增加到 1:1。鎳的亲硫性較強，晚期岩浆中硫离子浓度增高，遇到析出的鎳，在約 1500°C 左右，可以形成硫化物乳滴，在揮发份較高的条件下較易聚集，并随熔浆流动，故常平鋪于岩体底部成薄而寬的盤状矿体。这种受重力及流动分异作用控制的整合矿体，是地槽边缘較稳定的殘留地块內分凝式矿床的特征。可以岩体凹部及流动构造作为找矿标志。且一般含矿岩石顆粒粗而蝕变強，輝石多已次閃石化。

矿石呈浸染状、斑点状构造及海綿状晶鐵結構，矿石矿物以磁黃鐵矿、鎳黃鐵矿及黃銅矿为主，黃鐵矿、墨銅矿、斑銅矿及磁鐵矿、鈦鐵矿等次之。岩体边部有紅砷鎳矿及砷鎳矿等热液期矿物。

类似这种类型矿床中的钴，多与镍黄铁矿成类质同象共生，铂则除在硫化物中呈类质同象产出外，常成砷化物等，是硫化物最后一个世代。

这一矿区如与康滇地盾中部的一个硫化铜镍矿床对比，则可以发现后者由于超基性岩浆与石灰岩发生同化作用，超基性岩的熔点降低，使其分异现象更为完全，自上而下有闪长岩—辉长岩—似层状辉石岩—橄榄岩等不同岩相。岩体成盆状，矿体亦成盆状集中于底部超基性岩蚀变较强部分。由于重力分异在地台区较流动分异占优势，因此构造类型与地槽区不同。岩浆底部的适宜形状有利于矿体富集，不象褶皱带边缘的硫化铜镍矿床，有时甚至可以产生单斜状小侵入体内，这是值得注意的。

作者认为褶皱带边部的硫化铜镍矿床的几个岩石系列均为深部分异逐次侵入的结果，由于深部岩浆分异，使超基性熔浆部分在深部就富集了镍元素，这一部分熔浆在某次岩浆活动中，形成含矿的岩体群系列，矿床的特征是含镍较高， $Ni:Cu > 2$ ，最高可达4.5，并常先沿深断裂上升侵入于次一级断裂带内，因此小岩体内可有极大型矿床。因深部分异结果，小岩体本身有时分异现象并不明显，在找矿和勘探时不能忽略这种分异较差的小岩体。

原地分异是地台区硫化铜镍矿床的基本特征，一般 $Ni:Cu < 1$ ，很少达1.5，类似我国西南和加拿大的萧德贝里等地的矿床，易被掩盖于盖层下面，埋于较深处，只有在成矿后构造适宜的条件下可以出露地表。地台区硫化铜镍矿床的特征是大岩体内有极大型矿床，也是今后物探、化探地质工作者应当探索的对象。

(三) 晚期岩浆貫入式矿床

1. 东北某铬铁矿：矿区位于褶皱带的超基性岩体内，岩体沿北北西向断裂侵入于石炭二迭纪地层中，属纯橄榄岩—斜辉橄榄岩杂岩体。岩体长数公里，其中分布有百余个纯橄榄岩分离体，占全岩体面积百分之二十左右。从南向北计可分为三个岩体群，其中第一、二两岩体群中纯橄榄岩一般长数百米，宽数十米；第三岩体群中一般长数十米，最宽数米。第一岩体群走向近于东西，第二、三岩体群则以北北西为主，其中第三岩体群多为隐伏岩体，几个岩体群的产状及排列显示岩浆侵入时期的流动现象。各种不同岩相平均计算结果 $MgO:FeO$ 为 5.2。

现就勘探程度较高的第一、三岩体群加以分析。第一岩体群的大纯橄榄岩中，结晶粒度常在1厘米以上至数厘米， $Fe_2O_3:FeO$ 比值接近1.5，深部为中粗粒，粒度为0.5—0.8毫米。 $MgO:FeO = 2.79$ ，很低，残留费橄榄石极少， $+2V = 73^\circ$ ，较富铁质，可见这种大分离体含铁较高。其中均匀散布着早期自形的富铁铝铬铁矿，其结晶大小和橄榄石晶体成正比，但一般粒度很细，且分散状态。

在第一岩体群东南有贯入式铬铁矿体沿北 45° 东，倾向北西 65° 的断裂带侵入，矿体成小的扁豆体断续相连，并向北 40° 西方向侧伏，矿石不但为致密块状，晶体粗大，为铝铬铁矿，且与第一岩体群早期结晶的副矿物的化学成分不同。矿体附近有窄小的再度侵入的纯橄榄岩，其 $Fe_2O_3:FeO$ 在 0.15 以下，少量铬尖晶石副矿物成文象结构，晶出较晚，说明成岩时氧化条件差，可能来源于深部。

第三岩体群有几个小的含矿纯橄榄岩体，均未出露地表，较大者20余米，宽10米，岩

体外固为不含矿粗粒纯橄岩，粒度为1.5—2厘米， $MgO:FeO = 5.64$ ，贵橄岩较富镁， $+2V = 78-82^\circ$ ，核心部分为含矿中粒纯橄岩，两者 $Fe_2O_3:FeO$ 均近于1。矿体具备稠密浸染状及致密块状两种特征，为铝铬铁矿，而产于纯橄岩核心部分，沿岩体长轴近东西向及南北向纵、横节理贯穿的铬铁矿呈致密块状夹于浸染矿石中间，系橄岩结晶后尚未凝固的矿液沿母岩原生节理压滤进去的，属于晚期岩浆压滤式矿床。

岩脉穿插的数目，可以表示裂隙发育的程度，第一岩体群岩脉密度可达36%，第三岩体群则仅为12%，可见北部在成岩过程中的构造活动不及南部剧烈，故氧化条件较差，分异作用较好，这有利于晚期岩浆矿床富集，因此在纯橄岩分离体内找矿应多注意北部，而南部则应进一步追索貫入式矿体。

根据作者所掌握的初步资料，成迭瓦状排列的矿体，当倾角变缓时矿体变大，其貫入条件显然受 S' 裂隙的控制。从以上的简单介绍也可以了解岩浆矿床的成因类型和构造类型是找矿及勘探的决定性因素。

2. 华北—钒钛磁铁矿：矿区主要为前震旦纪的片麻岩、大理岩及超基性岩、基性岩、花岗岩构成结晶基底，上复岩层以侏罗纪及白垩纪陆相沉积为主。推测超基性岩、基性岩的侵入时代属前震旦纪。

最初该区为一个不深的地槽，连续沉积了泥灰岩、砂页岩及石灰岩等，以后由于较大的沉降幅度，各种沉积岩受较长时期的压力和五台运动的影响，大部分已变质为片麻岩，一般片理和褶皱轴大致成东西走向。吕梁运动初期发生垂直变位时产生的张力，造成了东西

方向的断裂。其中有以斜长岩为主的基性杂岩体侵入。岩带东西长数十公里，南北宽数公里。东西向的大断裂在基性岩侵入之后还有活动，在斜长岩体的南缘发现长达10公里的一个逆断层，在其附近百余米范围内斜长岩均已滑石片岩化，片理也呈东西向，其岩相分布及岩体构造如图8。

斜长岩体受大断裂方向的控制其断裂也以东西向为主，并

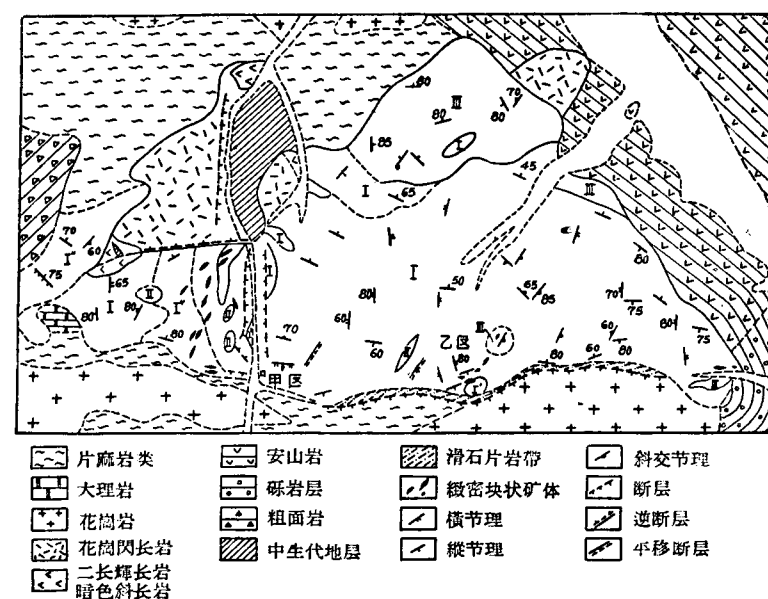


图8 河北某地区域地质构造纲要略图

控制了再度侵入的基性岩及钒钛磁铁矿矿体。按基性岩类的侵入次序，大致可区分为以下几个系列：

(1) 斜长岩——偶尔可发现早期浸染状矿石。

(2) 輝長岩(包括少量二長輝長岩等)-輝長伟晶岩——富綠泥石的浸染状及致密块状貫入式矿体。

(3) 苏长岩(包括少量拉长岩)-苏长伟晶岩——富磷灰石型的浸染状及致密块状貫入式矿体。

斜长岩均經自变質变为鈉黝帘石化斜长岩，輝長岩兼受絢閃石化，以(1)(2)两系列变質最深。

本区矿体均与再度侵入的輝長岩、苏长岩密切伴生，并于晚期受揮发份影响及应力作用貫入于斜长岩原生节理再活动的断裂带內。每一个大的矿化带都伴有破裂构造。

矿体主要沿大岩体南部边缘发育，估計此处走向北 70° 东，傾向南东 70° ，受側压力影响产生的逆斜断层，是貫入式矿体的通道。

图9是較为典型的迭瓦状矿体羣，能看出当傾斜变緩时矿体变厚的特征，矿体羣向北东方向侧伏，断續延深数百米，应属逆斜断层性质，与 S' 的性质吻合，根据力学分析側伏現象是迭瓦状貫入式矿体的显著特征之一。

在斜长岩体西部，其再度侵入的輝長岩类及矿体，走向均为北 20° - 30° 东，有数十个矿体断續排列成三个主要成矿带，其附近岩石破碎，甚至成为糜棱岩，构造分析查明，断裂带是在斜交节理的基础上发育起来的(图10)。矿体产状的最大特征是成較大的单一矿体，延长延深均极大。这是由于侵入体中部粘性較高，容易产生粘性剪裂，受这种构造条件

控制的矿体成巨大扁豆体，与岩体边部受剪力发生的小而密的逆向裂隙羣控制的迭瓦状矿体羣不同。因此，确定构造类型就可以預測盲矿体的可能赋存状态。

綜合上述，并与阿帝朗达克(Adirondacks)等国外资料略加对比，还可以发现貫入式釩钛磁鐵矿虽賦存于斜长岩内，但其母岩則为再度侵入的輝長岩及苏长岩类。这样矿体深部分异再度侵入的所謂异母岩矿床，应为地槽区釩钛磁鐵矿的特征。

S' 及 D' 为晚期岩浆貫入式矿床的主要控制因素，其他裂隙則較为次要，結合矿带分布情况，在侵入体边部沿长軸方向迭瓦状矿床发育，而中間部分形成雁行状矿床。

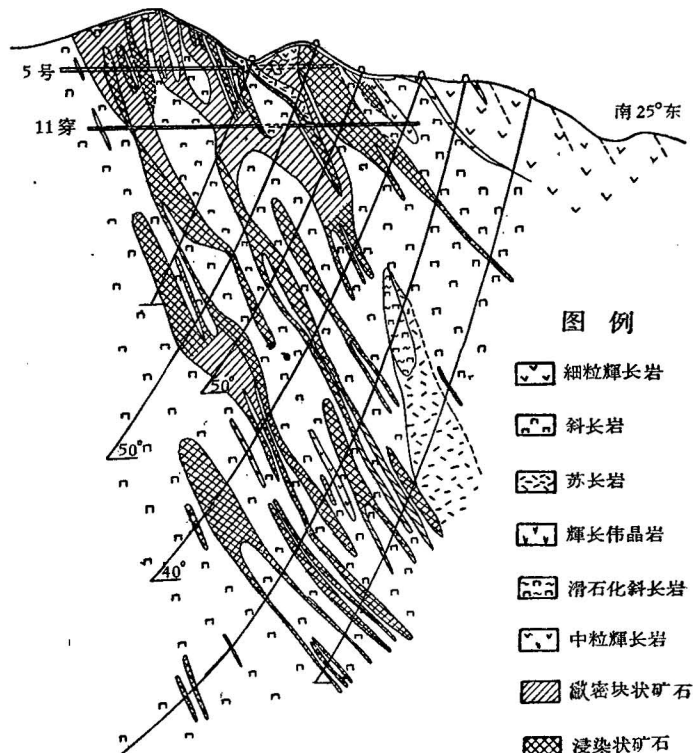


图9 迭瓦状貫入式矿体羣剖面示意图

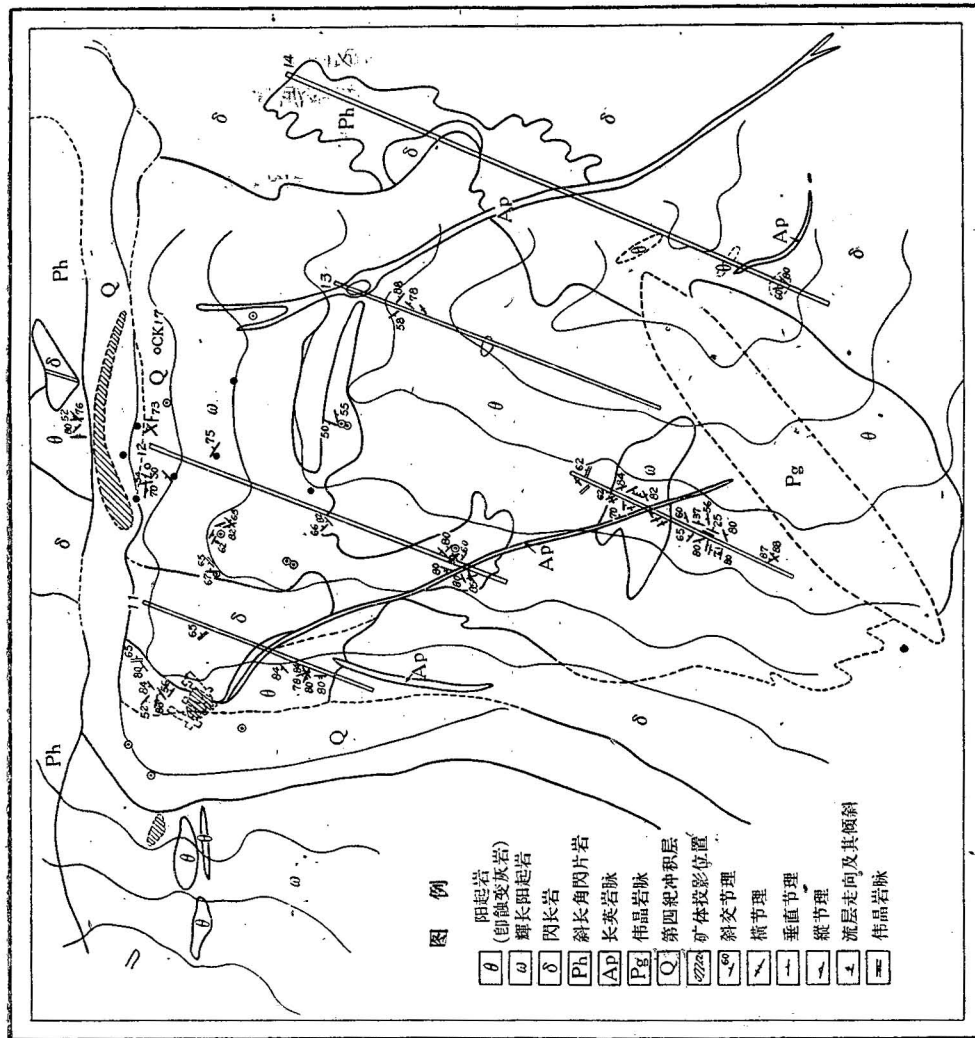


图 10 雁行状侵入式矿体平面图
(根据翟裕生)

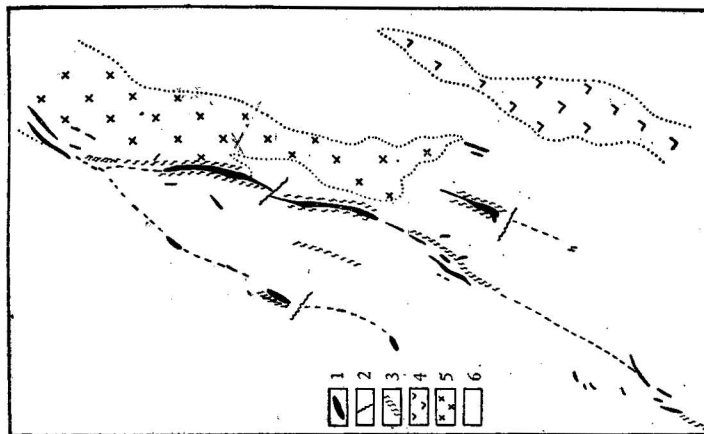


图 11 秦岭一硫化铜镍矿床平面示意图

矿石有致密块状(往往含磷灰石或绿泥石)及具海绵晶铁结构的浸染状(包括斜长石、绿泥石、磷灰石浸染状)两种,金属矿物钛铁矿在磁铁矿内成固体溶离结构,此外有少量粒状钛铁矿,黄铁矿、黄铜矿、磁黄铁矿及尖晶石等。矿体边部绿泥片岩普遍存在,但绿泥石交代钒钛磁铁矿及斜长石等矿物,为成矿后的热液活动产物。

有时钒钛磁铁矿贯入于斜长岩与辉长岩之间或矿染辉长岩内,后一情况则属同母岩矿床,但在矿体中不占重要位置。

3. 秦岭—硫化铜镍矿床:该硫化铜镍矿床位于秦岭褶皱带中央隆起部分,是由蚀变辉岩、辉长岩及闪长岩等组成的杂岩体。矿床产于蚀变辉岩、辉长岩系列内。围岩为前寒武纪的副片麻岩及斜长角闪岩,一般片理方向为北 70° — 80° 西,倾向南西 70° — 80° 。

基性岩体的分布与本区东西向的构造线接近一致,由于构造活动频繁,基性岩体分异很差,蚀变辉岩-辉长岩分布无一定规律。岩体产状为陡倾斜的似层状,倾向北东,MgO:FeO=1.07—1.56。岩体下盘由于闪长岩体的侵入遭到很大的破坏。矿化带沿河滩约呈北 70° — 80° 西的方向延展,和纵节理的方位一致(图11)。

在坑内外详细观察发现有一组走向北 70° — 80° 西,倾向南西 80° ,表面粗糙、开口,但在坑内外均可见到转为北 50° 东方向,倾向南东 80° ,节理面亦从粗糙转为平滑,可以看出纵裂隙曾被这一组剪切裂隙复杂化,影响矿体向东侧伏。同时另一方面有时节理面也向北 40° 西方向转化,此时在剖面方向上倾向也向北东(倾角约 75°)转化,有时切断前一组裂隙,在剖面上形成X型断裂带,同时贯入式硫化铜镍矿床成交叉状构造,如图12。

至于西部河床两旁,在主矿体延长线上发育的两个筒状矿体,则分别受纵裂隙、横裂隙(北 15° 西,倾向北东, 50° — 60°)及斜交裂隙(北 50° 东,倾向南东, 80° 左右)的控制。其特点是矿体短而粗,向深部分岔尖灭。斜交裂隙的又一次活动,控制着伟晶岩及长英岩脉的发育,且往往切穿矿体。

矿石有浸染状、网状及角砾状、块状几种。矿石物质组成以磁黄铁矿、黄铜矿及黄铁矿为主,并有镍黄铁矿

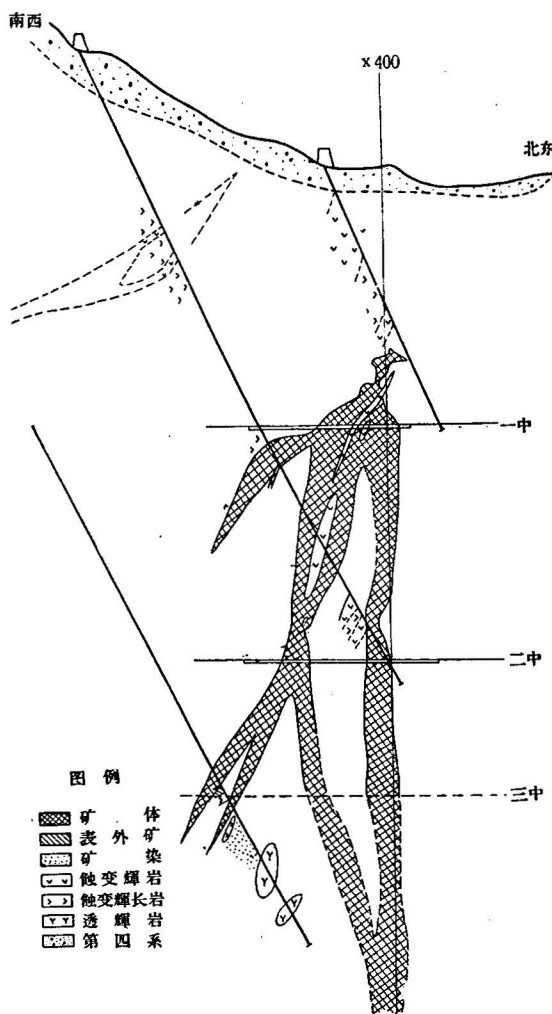


图 12 交叉状贯入式矿体剖面图

及輝鉄鎳矿等。鎳黃鐵矿常在磁黃鐵矿中成火焰状結構。黃銅矿在磁黃鐵矿外圍成固体分离現象，原屬岩漿期产物。但也可見到黃鐵矿被黃銅矿溶蝕的現象。矿体內的轉變輝岩角砾中可見到很大的陽起石及黑云母，固岩綠泥石化現象亦明顯。

該區矿石中 $Ni:Co$ 穩定地保持着 6:1 的比值，而 $Ni:Cu$ 則在 1:2 或 1:1 之間 ($Co:Ni = 1:15-50$)。

化驗資料表明磁黃鐵矿向深部含鎳量減低，晶胞常數偏大¹⁾，其 a -軸之間差數為 0.379 \AA ， c -軸差數為 0.00486 \AA ，說明它們之間的晶出環境不同。銅的化探異常值比鎳的大數倍，而且幅度、梯度均較大，且有鎳異常一定有銅異常，有銅異常不一定有鎳異常。在坑下常見到矿体被黃銅矿細脈穿插。這些現象都說明向深部熱液迭加現象明顯。西部河床兩旁的矿体，含銅、鈷、鎳均低，硫化物在閃長岩中均有散染，這說明熱液迭加現象與閃長岩有關係；後兩個矿体受熱液迭加作用較強。

由以上情況可見，在岩漿晚期已有浸染狀硫化物貫入於基性岩近東西向裂隙帶中，以後閃長岩侵入，裂隙活動加劇，汽水溶液沿裂隙上升，並重熔了一部分硫化物形成塊狀矿石，這種矿床受到明顯的熱液富集作用，應劃歸晚期岩漿熔離貫入-熱液富集式。其特點是成礦帶沿侵入體邊部 S' 發育，但被 Q' 及 D' 复雜化，構造活動多次複合，有熱液富集作用，矿石中銅、鈷含量均特別高。至於比較典型的未受熱液迭加作用的貫入式矿床，在華北幾個地區均有發現，大體說來岩石種類以輝長岩及輝長岩-輝石岩雜岩體較為普遍，矿床規模小，矿体常沿岩體長軸方向分布，但常受 S' 、 Q' 或 D' 交叉控制，因限于篇幅不再舉例。

(四) 晚期岩漿壓濾式矿床

晚期岩漿壓濾式可以華北某鎢鉄矿床為例，超基性岩沿前震旦系東西方向的斷裂帶侵入。以蛇紋石化純橄欖岩為主，并為再度侵入的異剝透輝岩-角閃岩及含鈦磁鐵矿的輝閃岩-輝長閃長岩系列穿插。東南方向有含釩鈦磁鐵矿的基性雜岩體侵入，岩體屬於以純橄欖岩為主的輝岩-純橄欖岩建造，純橄欖岩的 $MgO:FeO = 4.47-5.42$ 。岩體岩相分布及構造如圖 13 所示。

純橄欖岩構成岩體的主要部分，分異現象不明顯，以 45° 傾角向北傾斜。鎢晶尖石多成自形，屬早期岩漿產物。在純橄欖岩內成稀疏浸染狀或條帶浸染狀。

稠密浸染到致密塊狀矿体呈透鏡狀，有-定的方向性，產於純橄欖岩下部鎂質較高部分（參看表 1 及圖 1）。其產狀與母岩原生節理一致，接觸界綫比較清楚，往往邊部有稠密浸染的鎢尖晶石，這種矿体生成於晚期岩漿的較晚階段，應屬於晚期岩漿壓濾式矿床，當純橄欖岩大部結晶後，在揮發份參加的條件下鎢尖晶石與橄欖石殘漿以近似共結組分結晶⁴⁾。在應力的影響下鎢尖晶石熔漿經過橄欖石裂隙間壓入於純橄欖岩原生節理內。由於壓濾作用是貫入矿体矿液集中的主要作用。建議凡屬同母岩內的透鏡狀貫入體，均應劃歸本類型，和異母岩貫入式矿床區別。

矿石种类以鎂富鐵鎢鉄矿及鎂富鐵鋁鎢鉄矿為主。

1) 上部 $a = 5.9736 \text{ \AA}$, $c = 11.4300 \text{ \AA}$; 下部 $a = 6.0115 \text{ \AA}$, $c = 11.4786 \text{ \AA}$ 。

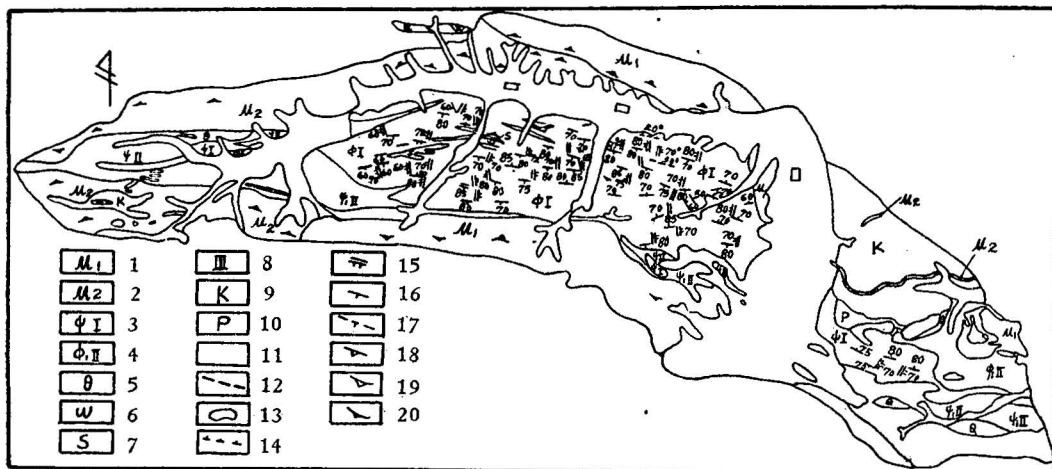
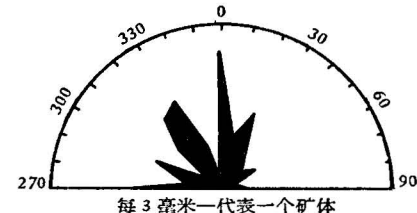


图 13 华北某地超基性岩体构造纲要略图

1. 花岗片麻岩；2. 注入片麻岩；3. 蛇纹石化纯橄岩；4. 角闪岩；5. 透辉岩；6. 长辉长岩；
7. 滑石菱镁片岩；8. 辉闪岩；9. 碳岩；10. 流纹岩；11. 黄土；12,13. 地质界限；14. 断层；
15. 横节理；16. 纵节理；17. 层节理；18. 斜交节理；19,20. 片理走向与倾角。

根据全区数十个矿体的统计材料所作的玫瑰图(图14)和本区纯橄岩原生节理方位对比,可以证明压滤式矿床受原生节理S、Q及D的控制;可按照岩石镁铁比值及氧化条件和构造条件三方面的综合资料进行矿区的找矿及评价工作。

在其他矿区这种矿床往往产于辉橄榄岩中的纯橄岩异离体内。华北某地的钒钛磁铁矿及西南一硫化铜镍矿床,都有这种成因的矿体发现。能否构成一个类型尚待进一步研究。

图 14 铬铁矿矿体露头走向方向性的玫瑰图解
(根据赵宗溥)

(五) 其他类型的岩浆矿床

目前尚待继续研究的还有两种成因类型:一种是西南一侵入于辉长岩、辉石岩、辉橄榄岩内的橄榄岩岩墙中有硫化物富集。岩墙受节理S'及D'控制,硫化物为紫硫铁镍矿及黄铜矿,黄铁矿较多,磁黄铁矿较少,不含镍黄铁矿。这是由于含挥发份的汽水溶液成分与橄榄岩蛇纹石化过程中析出的Ni, Fe等离子结合,于400°—500°C时形成。由于岩浆晚期还是有一部分硫化物存在,故列为蚀变岩墙-热液富集式。

东北某地的片麻岩中的辉绿岩、橄榄辉长岩岩墙,硫化物既有熔离现象,又具杏仁状构造,这更可以说明这一问题。在另一矿区,在辉长岩-辉橄榄岩岩床内的硫化铜镍矿床与透闪石化、蛇纹石化及滑石化的热液富集有关,以整个辉橄榄岩相普遍浸染着硫化物为其特征。还有一种小的基性、超基性岩体,受深部侵入体的热力作用形成的硫化铜镍矿床,如某地含矿岩石为中粒蚀变辉长岩墙,沿北20°—30°西的破裂带侵入。矿体与岩墙走向一致,矿体上部有块状及细脉状矿石,主要矿物为紫硫铁镍矿与磁黄铁矿;中部以细脉

状为主，矿物为黄铁矿及少量黄铜矿，紫硫铁矿渐少，下部以浸染状为主，大部为黄铁矿，矿石中铜、镍、钴含量均高，但规模不大。

基性岩体与矿体规模相差并不甚大。从深部热液矿物的增加及矿体有时侵入于片麻岩中，都说明热液影响较大，其来源与后来的酸性岩石内的汽水溶液有关系，类似这种矿床应划归异母岩-热液富集式。作者曾几次发现硬蛇纹石脉中有铬铁比值较低的致密块状铬铁矿，有理由怀疑与蛇纹石化作用热液富集有关。

综合以上各种不同矿区的具体情况，试将岩浆矿床的成因类型和构造类型，作一尝试性的划分如表2：

表2 岩浆金属矿床的成因类型及构造类型

成矿阶段	成因类型	构造类型	主要控制因素	矿区实例	铬镍矿石一般特点	矿石构造、结构	备注
I. 早期岩浆矿床	1. 浸散式	透镜状	结晶分异作用	西北某铬铁矿	高铁铬尖晶石；铬铁比值较低	细粒自形浸染状，与围岩界限不明显	
	2. 分凝式	似层状	同上	南非布什维尔德铬铁矿	同上	细粒自形稠密浸染状	
II. 晚期岩浆矿床	3. 残浆分凝式	带状或似层状	重力分异及流动构造	西南一钒钛磁铁矿及某些铬铁矿	铝铬铁矿等；铬铁比值高	条带斑杂状、海绵晶铁结构	同母岩矿床
	4. 残浆貫入式	迭瓦状或雁行状	原生节理再活动	东北某铬铁矿、华北一钒钛磁铁矿	同上；铬铁比值高；但与围岩中副成分不同	致密块状、海绵晶铁结构	异母岩矿床
	5. 压滤式	扁豆状	原生节理	华北某铬铁矿	同上；但与围岩中副成分相同	稠密浸染状到致密块状	同母岩矿床
	6. 熔离分凝式	盆状或盘状	重力分异及流动构造	东北及西南某硫化铜镍矿床	磁黄铁矿、镍黄铁矿、黄铜矿组合	浸染状及斑点状、海绵晶铁结构	同上
	7. 熔离貫入式	交叉状或筒状	原生节理再活动	东北及华北某硫化铜镍矿床	同上；但镍黄铁矿减少变为磁黄铁矿、镍黄铁矿、黄铜矿、黄铁矿组合	以致密块状、角砾状为主	异母岩矿床
	8. 熔离貫入-热液富集式	同上	同上	秦岭一硫化铜镍矿床	同上；有热液期磁黄铁矿黄铜矿、黄铁矿迭加	同上	同上
	9. 蝥变岩墙-热液富集式	浸染状	同上及围岩断裂带	东北某硫化铜镍矿床	磁黄铁矿、紫硫铁矿、黄铜矿、黄铁矿组合	稀疏浸染状	同母岩矿床
III. 晚期岩浆-热液富集式	10. 异母岩-热液富集式	不规则状	同上	华东某硫化铜镍矿床	同上	浸染状、块状及角砾状	异母岩矿床

四、其他方面的几个主要問題

其他方面的几个主要問題包括基性、超基性岩的蝕变現象和找矿标志，矿石的結構构造，以及矿石的物质組成和铬尖晶石种类等方面。

首先蝕变現象以自变質作用为主，但往往有热液蝕变或区域变質作用迭加于其上，必須加以注意。例如蛇纹石化作用常沿橄榄石的裂隙发育，而在节理面两侧变質程度較深。压滤式矿体边部也因蝕变較強，常造成黃色的窄带，是直接的找矿标志。

岩体深部由于压力增大，裂隙較不发育，自变質現象較弱(A. H. 查瓦里茨基)。在区域应力影响下自变質程度加深；貫入式钒钛磁铁矿边部綠泥片岩发育，应属于热液蝕变的迭加現象，再度侵入的岩体也能引起。

矿石的构造结构和物质组成是判断岩浆矿床的成因类型的主要标志，例如矿石的带状构造和海绵晶铁结构都是晚期岩浆矿床的主要标志，前者表明岩浆晚期差异性运动条件下的产物，后者证明矿石结晶晚于脉石。不论研究哪一个问题，都不应忽略与岩浆矿床有关的几个基本条件。

关于铬尖晶石类矿物及其分类，Г. А. 索科洛夫及 Н. В. 巴甫洛夫均有专门著作，不过巴甫洛夫的分类方法以原子比值为计算单位，对于区分有限类质同象的铬尖晶石矿物更为明显，因限于篇幅，在这里就不详细介绍了。

主要参考文献

- [1] 兰卡瑪及薩哈瑪 铬的地球化学。地球化学专輯第1輯，地質出版社，1956。
- [2] V. M. 戈尔德施密特 地球化学。科学出版社，1959，第22，512頁。
- [3] A. G. Ringwood The principles governing force elements distribution during magmatic Crystallization. P. I. Geochemical & Cosmich. Acta. Vol. 17. № 3—4 1955.
- [4] Г. А. 索科洛夫 乌拉尔铬铁矿。地質出版社，1957，第86頁。
- [5] The Origin of Certain Chromite Deposits of the Eastern Part of the Bushveld Complex. Eugene N. Cameron & Mark E. Emerson. Economic Geology Volume 54 No. 7; 1959.
- [6] 地質部地質科学研究院主編 国外铬铁矿資料专輯。1961。
- [7] V. M. 戈尔德施密特 火成岩及矿物中的稀有元素。地質出版社，1959。
- [8] H. A. 叶利塞耶夫 构造岩石学。地質出版社，1957。
- [9] Osborne Certain Magmatic Titaniferous Iron Ores & Their Origin. Economic Geology Volume XXIII., 1928.